

基于 Monte Carlo 方法的 SAR 斑点噪声统计特性验证与收敛性分析

摘要：合成孔径雷达（SAR）图像中的斑点噪声严重影响信息解译。本文聚焦于强度数据的统计建模，采用最大似然估计（MLE）方法从实际 SAR 图像的均匀区域提取 Gamma 分布的形状参数 \hat{L} 和尺度参数 $\hat{\lambda}$ ，并使用 Pearson 检验、K-S 检验和Q-Q图验证 Gamma 分布对实际 SAR 数据的拟合优度。本文运用 Monte Carlo (MC) 模拟方法对关键统计量（包括虚警率 $P(I > t)$ 和检测阈值 $Q(p)$ ）进行了独立估计与验证。实验结果显示，MC 估计值与理论解析值高度吻合，平均绝对误差在 10^{-5} 量级。进一步的收敛性分析通过 Log-Log 曲线图证明了 MC 估计的均方误差（MSE）随样本量 N 的增加，严格遵循理论上的 $\mathcal{O}(1/N)$ 速率收敛。研究结果有力地验证了 Gamma 模型对 SAR 斑点噪声的适用性，并确立了 MC 模拟方法作为处理复杂 SAR 统计量的高效、可靠工具。本文全部实验代码和数据都存放在以下仓库：https://github.com/KaguyaQiang/ShuLiTongji_BUAA。

关键词：SAR 斑点噪声；Gamma 分布；最大似然估计；Monte Carlo 模拟；收敛性分析

1. 引言

1.1 研究背景

合成孔径雷达（SAR）作为一种主动式微波遥感技术，能够自主发射微波信号并接收回波，具备穿透云雾、植被甚至一定深度地表的能力，真正实现了全天候、全天时的工作。然而，这种基于相干处理的成像机制也带来了固有的缺陷——斑点噪声（Speckle Noise）。斑点噪声的本质是雷达波束内不同散射点回波信号的随机干涉叠加，它是一种乘性噪声，其强度与局部回波信号强度成正比。斑点噪声在 SAR 图像上表现为高度随机且具有空间相关性的颗粒状纹理，这不仅直观上大大降低了图像的可视质量，更在量化分析中成为瓶颈。

1.2 理论基础与问题

对斑点噪声进行准确的统计建模是设计最优检测器和滤波器的前提。在强度图像中，均匀区域的斑点噪声通常被建模为 Gamma 分布。其概率密度函数依赖于两个核心参数：形状参数 L 和尺度参数 λ 。准确地确定这两个参数是后续所有统计推理的基础。

尽管 Gamma 分布提供了强大的解析工具，但在实际工程应用和模型验证中，仍存在着必须克服的方法论挑战：

1. 参数提取的精确性：如何准确地从实际 SAR 数据中估计出 L 和 λ 。由于 MLE 估计的参数直接决定了分布的形状，任何估计误差都会影响检测器的性能。因此，找到一种稳健且高效的参数估计方法至关重要。
2. 尾部精度的独立验证：目标检测的性能，尤其是对弱小目标的检测能力，严重依赖于对分布尾部（即极小虚警率 $P(I > t)$ ）的准确估计。例如，在恒定虚警率（CFAR）检测器中，虚警率通常被要求低至 10^{-6} 或更低。虽然理论解析公式可以提供数值结果，但由于浮点精度和近似计算的限制，这些结果的统计可靠性难以通过传统的理论方法独立验证。本文需要一种非解析、基于统计抽样的工具来对这些极小概率进行独立且精确的估计。

3. 复杂统计量的解析障碍：对于多变量、非线性的复杂检测器，其统计量的精确解析分布往往不存在或计算过程极其繁琐、难以实现。在这种情况下，Monte Carlo 模拟便成为求解此类复杂 SAR 统计量分布特性和性能评估的唯一可行且高效的工具。

1.3 研究目的与贡献

本文旨在通过结合 MLE 和 MC 模拟方法，系统解决上述挑战。研究目的在于：验证 Gamma 模型拟合优度，并系统评估 MC 方法在 SAR 统计量估计中的精度及其收敛特性。

本文的主要贡献包括：

1. 参数提取：利用 MLE 从 15 个实际 SAR 图像均匀区域中准确提取 Gamma 分布参数 $(\hat{L}, \hat{\lambda})$ 。
2. 拟合验证：使用 Pearson 检验、K-S 检验和 Q-Q 图验证 Gamma 分布对实际 SAR 数据的拟合优度。
3. 精度验证：利用 $N = 10^7$ 次 MC 模拟，独立验证了虚警率 $\hat{P}_{MC}(I > t)$ 和检测阈值 $\hat{Q}_{MC}(p)$ 的估计精度。
4. 收敛性量化：通过实验量化了 MC 估计的 MSE 与样本量 N 的关系，证明其收敛速度满足理论上的 $\mathcal{O}(1/N)$ ，为 MC 方法在 SAR 应用中提供了统计学上的严谨基础。

2. 理论模型

2.1 Gamma 分布模型

在均匀 SAR 图像区域内，若不存在噪声，各处像素强度值理论上应保持恒定。然而实际的 SAR 强度 I 遵循乘性噪声模型： $I = R \times N$ ，其中 R 是地物的后向散射系数（视为局部均值），而 N 是纯粹的斑点噪声项。在强度图像中，通过多视处理后，强度 I 服从 Gamma 分布。

SAR 强度 I 的 Gamma 分布概率密度函数为：

$$f(I; L, \lambda) = \frac{1}{\Gamma(L)\lambda^L} I^{L-1} e^{-I/\lambda}, \quad I \geq 0$$

其中，形状参数 L 被称为等效视数，它直接反映了图像的平滑程度和斑点噪声的抑制效果。 L 值越高，分布越集中，斑点噪声越弱。尺度参数 λ 则与该均匀区域的平均散射强度（即 $E[I]/L$ ）成比例。 $\Gamma(L)$ 为 Gamma 函数。其均值 $E[I]$ 和方差 $V[I]$ 分别为：

$$E[I] = L\lambda, \quad V[I] = L\lambda^2$$

2.2 最大似然估计

最大似然估计（MLE）被广泛认为是 Gamma 分布参数估计的渐近最优方法。对于一组独立同分布的 SAR 强度样本 $I = \{I_1, I_2, \dots, I_n\}$ ，其似然函数 $\mathcal{L}(L, \lambda)$ 定义为各样本概率密度函数的乘积：

$$\mathcal{L}(L, \lambda) = \prod_{i=1}^n f(I_i; L, \lambda) = \left(\frac{1}{\Gamma(L)\lambda^L} \right)^n \left(\prod_{i=1}^n I_i \right)^{L-1} \exp \left(-\frac{1}{\lambda} \sum_{i=1}^n I_i \right)$$

为简化计算，对似然函数取自然对数，得到对数似然函数 $\ln \mathcal{L}$ ：

$$\ln \mathcal{L}(L, \lambda) = n [-\ln \Gamma(L) - L \ln \lambda] + (L-1) \sum_{i=1}^n \ln I_i - \frac{1}{\lambda} \sum_{i=1}^n I_i$$

MLE 估计值 $(\hat{L}, \hat{\lambda})$ 是使 $\ln \mathcal{L}$ 最大化的参数。通过求解关于 L 和 λ 的偏导数并令其等于零来获得。

1. 尺度参数 $\hat{\lambda}$ 的推导:

求解关于 λ 的偏导数并令其等于零：

$$\frac{\partial \ln \mathcal{L}}{\partial \lambda} = -\frac{nL}{\lambda} + \frac{1}{\lambda^2} \sum_{i=1}^n I_i = 0$$

求解可得尺度参数 $\hat{\lambda}$ 的估计值，其中 $\bar{I} = \frac{1}{n} \sum_{i=1}^n I_i$ 为样本均值：

$$\hat{\lambda} = \frac{1}{n\hat{L}} \sum_{i=1}^n I_i = \frac{\bar{I}}{\hat{L}}$$

2. 形状参数 \hat{L} 的推导:

求解关于 L 的偏导数并令其等于零：

$$\frac{\partial \ln \mathcal{L}}{\partial L} = n \left[-\frac{\Gamma'(L)}{\Gamma(L)} - \ln \lambda \right] + \sum_{i=1}^n \ln I_i = 0$$

定义双伽马函数 (Digamma function) 为 $\Psi(L) = \frac{\Gamma'(L)}{\Gamma(L)}$ 。代入上式并整理，得到：

$$\Psi(\hat{L}) + \ln \hat{\lambda} = \frac{1}{n} \sum_{i=1}^n \ln I_i$$

将 $\hat{\lambda}$ 的表达式 $\ln \hat{\lambda} = \ln \bar{I} - \ln \hat{L}$ 代入，最终得到形状参数 \hat{L} 必须满足的方程：

$$\ln(\hat{L}) - \Psi(\hat{L}) = \ln\left(\frac{1}{n} \sum_{i=1}^n I_i\right) - \frac{1}{n} \sum_{i=1}^n \ln(I_i)$$

由于该方程涉及 \hat{L} 的隐式表达式， \hat{L} 的估计需要通过牛顿迭代法等数值方法进行求解。

2.3 拟合优度检验

为了评估通过最大似然估计 (MLE) 获得的理论 Gamma 分布 $\mathcal{G}(\hat{L}, \hat{\lambda})$ 对观测杂波数据 \mathbf{X} 的拟合程度，本文采用了多种互补的诊断方法。这些方法包括传统的统计检验，以及对大样本数据更具判别力的图形诊断技术。

1. Pearson 卡方 (χ^2) 检验

Pearson χ^2 检验是一种基于频数的拟合优度检验，其核心思想是将观测数据划分为 K 个不相交的区间，然后比较每个区间内的观测频率 O_i 与理论分布预测的期望频率 E_i 。使用的检验统计量为：

$$\chi^2 = \sum_{i=1}^K \frac{(O_i - E_i)^2}{E_i}$$

其中， χ^2 统计量近似服从自由度为 $df = K - 1 - m$ 的卡方分布，而 m 是通过 MLE 估计的参数数量 (对于 Gamma 分布， $m = 2$ ，即 L 和 λ)。

在实际应用中，为确保 χ^2 统计量的近似性，通常要求所有期望频率 $E_i \geq 5$ ，这使得 χ^2 检验的结果对分箱策略（即 K 值的选择和分界点）高度敏感。更重要的是，在 SAR 杂波分析中，由于 ROI 样本量 N 极大，任何微小的观测频率与期望频率之间的偏差都会导致 χ^2 值急剧增大，从而使得 P 值趋近于零。因此，该检验在大样本下极易产生“大样本悖论”，倾向于拒绝一切原假设，故其检验结果需结合其他方法进行综合分析。

2. Kolmogorov-Smirnov (K-S) 检验

K-S 检验是一种非参数检验方法，专注于比较观测数据的累积分布函数（Empirical CDF, $F_N(x)$ ）与理论分布的累积分布函数（Theoretical CDF, $F(x)$ ）之间的最大差异。使用的检验统计量为：

$$D = \max_i |F(x_i) - F_N(x_i)|$$

其中 $F(x)$ 是通过 MLE 参数 $\hat{L}, \hat{\lambda}$ 构建的理论 Gamma 分布的 CDF； $F_N(x)$ 是由观测数据 \mathbf{X} 构成的经验 CDF。

K-S 检验的 P 值同样容易受到大样本量 N 的影响。然而，K-S Statistic (D) 本身提供了一个与样本量无关的、清晰的绝对量化指标。 D 值代表了理论模型和实际数据之间最大的累积概率偏差。在工程应用中，即使 P_{KS} P 值极低，如果 D 值保持在一个较低的阈值（例如 $D < 0.1$ ），则可以认为模型的整体拟合在工程上是可接受的，因为最大偏差得到了有效控制。

3. 分位数-分位数 (Q-Q) 图诊断

鉴于 χ^2 和 K-S 检验在大样本下评估拟合质量的局限性，本文采用分位数-分位数 (Quantile-Quantile, Q-Q) 图作为最主要的诊断工具。Q-Q 图通过视觉方式直接比较两个分布的形状。

Q-Q 图的横轴是理论 Gamma 分位数 $Q_{\text{Theory}}(p)$ ，纵轴是观测数据分位数 $Q_{\text{Observed}}(p)$ 。若观测数据点近似落在 $y = x$ 的对角线上，则表明观测分布与理论 Gamma 分布在形状上高度一致。若出现 S 形或 C 形弯曲，则表明数据拖尾特性与 Gamma 模型不符。通过 Q-Q 图，我们能够有效地绕过大样本悖论对 P 值的干扰，将拟合优度的判断聚焦于模型对分布形状的准确描述这一核心工程需求上。

3. Monte Carlo 模拟方法

3.1 MC 模拟设计

MC 模拟是一种强大的数值计算方法，通过生成大量随机数样本来逼近统计量的理论分布。与依赖解析表达式的方法不同，MC 模拟尤其适用于 SAR 统计模型中难以获得封闭解或计算复杂度高的场景。

实验中利用 MLE 得到的参数 $(\hat{L}, \hat{\lambda})$ ，通过高效的随机数生成算法，生成 $N = 10^7$ 个服从 $\text{Gamma}(\hat{L}, \hat{\lambda})$ 分布的随机数样本。在实际操作中，本文采用经过充分验证的随机数生成器，确保所生成的样本具有良好的统计独立性和均匀性，从而保证 MC 估计结果的可靠性。采用 $N = 10^7$ 的样本量，是为了将随机估计误差降至极低的水平，以便与理论解析真值进行高精度对比。

3.2 关键统计量估计

SAR 目标检测的性能评估主要依赖于虚警率 (False Alarm Rate) 和检测阈值 (Detection Threshold)，因此本文选择这两个关键统计量作为 MC 模拟验证的核心对象。在 SAR 目标检测中，一个重要的设计原则是保持 CFAR，这意味着无论背景杂波的统计特性如何变化，系统都能将虚警概率控制在一个预设的极低水平（例如 10^{-6} ）。

首先，本文通过 MC 模拟对虚警率进行估计，记为 $\hat{P}_{\text{MC}}(I > t)$ 。虚警率本质上是样本强度 I 超过某一给定阈值 t 的概率，它直接反映了 Gamma 分布在高强度尾部区域的拟合精度，这对于 CFAR 检测器的性能至关重要。MC 估计通过计算 N 个样本中强度值大于 t 的样本频率得到：

$$\hat{P}_{\text{MC}}(I > t) = \frac{1}{N} \sum_{i=1}^N \mathbf{1}(I_i > t)$$

本文将这一 MC 估计值与通过 Gamma 分布的解析累积分布函数得到的理论真值 $P_{\text{Theory}}(I > t) = 1 - F_{\Gamma}(t; \hat{L}, \hat{\lambda})$ 进行对比。在本研究中，本文选取 $t = 100$ 作为代表性高强度阈值。

其次，本文对检测阈值进行分位数估计，记为 $\hat{Q}_{\text{MC}}(p)$ 。该分位数估计是 CFAR 检测器设计中的核心参数，它确定了在预设虚警概率 p 下的判决门限。通过对 N 个 MC 样本进行排序，本文选取第 $[p \cdot N]$ 个样本值作为 p 概率对应的分位数：

$$\hat{Q}_{\text{MC}}(p) = \text{Sorted}(I)_{[p \cdot N]}$$

其理论真值 $Q_{\text{Theory}}(p)$ 则通过 Gamma 分布的解析分位点函数计算得到，本文选择 $p = 0.999$ 作为代表性高分位点进行对比验证。这两个统计量的精确验证，将有力地证明 MC 模拟方法在 SAR 统计分析中的可靠性。

4. 实验

4.1 数据准备与 ROI 选取

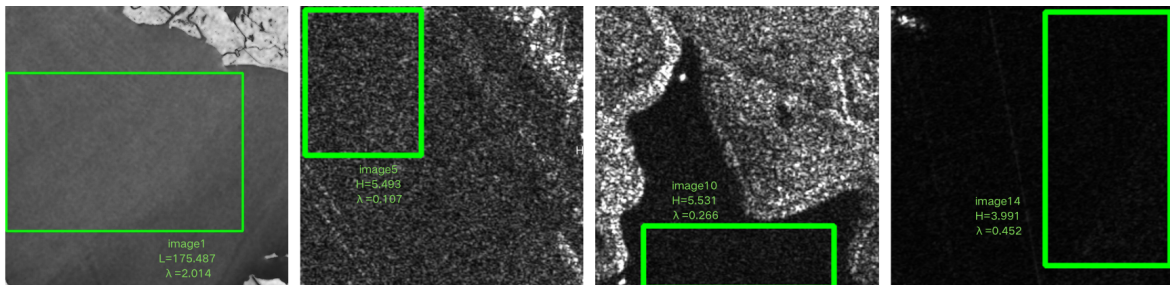


图4.1 原始sar图像、ROI及MLE估计值示例

为了验证所提出方法在真实场景中的适用性，本研究从三个具有代表性的 SAR 数据集中选取了总共 15 张强度图像。这些数据集涵盖了不同的地物场景，主要包括大面积海洋区域、空旷平坦的地面等多类型背景，这些区域在 SAR 图像中通常被视为统计意义上的均匀背景。

本文采用图像标注工具 LabelImg 对每张图像进行精确标注，从中选择一个具有足够尺度的兴趣区域 (ROI)。选取原则严格遵循以下两点：

1. 统计均匀性：确保所选 ROI 内没有强散射目标、显著的边缘或结构纹理，从而保证该区域的像素统计特性可被视为理想的斑点噪声。
2. 尺度充足性：ROI 的面积足够大（像素数量 $n > 9000$ ），提高估计稳定性，降低 MC 模拟中的统计波动。。

最终，这 15 个 ROI 的像素强度值 $I = \{I_1, I_2, \dots, I_n\}$ 被作为输入样本，用于进行后续的 MLE 参数估计。

4.2 MLE 参数提取与定性验证

在前述 ROI 的基础上，我们对每个区域执行 Gamma 分布参数的极大似然估计，得到对应的形状参数 \hat{L} 和尺度参数 $\hat{\lambda}$ 。实验结果显示，各 ROI 的估计结果呈现明显差异：部分区域的 \hat{L} 在 5 左右，表明其图像噪声强度适中；而某些图像的 \hat{L} 高达 170，说明其对应区域可能经过多视融合或平滑处理，噪声明显被抑制。该现象与 SAR 图像的成像机制相符，也从侧面验证了参数估计的合理性。

为进一步验证 MLE 结果的可靠性，我们将样本均值与理论均值、样本方差和理论方差进行比较。可以发现拟合分布的理论均值与样本均值在机器精度内高度吻合。因此，二者绝对误差普遍处于 10^{-15} 及其以下的量级。样本方差与理论方差的差距也全部低于 10%。例如，在代表性 ROI 5.png 中，参数估计结果为 $\hat{L} \approx 5.493$ 和 $\hat{\lambda} \approx 0.1067$ （即 $\hat{scale} \approx 9.37$ ），其理论均值 $E[I] \approx 51.48$ 与样本均值 $\bar{I} \approx 51.48$ 仅有微小的机器精度差异（Error ≈ 0 ）。

图像名	L估计值	λ估计值	均值绝对误差	方差绝对误差
1.jpg	175.4871852	2.013914889	0	1.508192882
3.png	5.536531923	0.123906571	7.11E-15	7.042387988
6.png	5.182568109	0.098777425	7.11E-15	9.208330825
8.png	3.993557881	0.584711709	0	1.616429049
9.jpg	44.04712821	1.593721927	3.55E-15	0.598541358

表4.1 MLE估计L、λ、均值绝对误差、方差绝对误差示例

此外，本文将每个 ROI 的像素直方图与使用 MLE 参数绘制的 Gamma 分布 PDF 进行对比。如图 4.2，两者在形状、峰值位置以及尾部衰减趋势上都具有良好一致性，表明 Gamma 模型能够有效捕获 SAR 图像均匀区域的统计特性。值得注意的是，当 L 较小时，直方图呈现更尖锐的长尾分布，而当 L 较大时，分布趋于接近高斯形状，这与 Gamma 分布理论完全一致，也反映了 MLE 所捕获的统计规律具有明确物理意义。

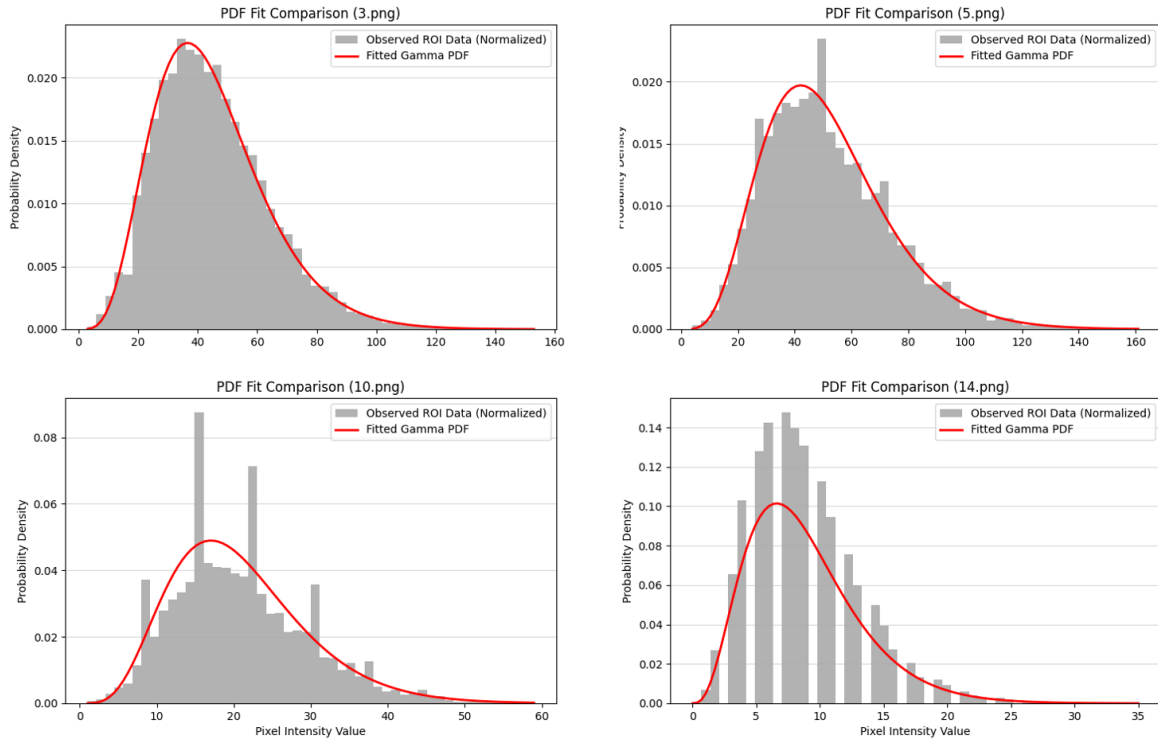


图4.2 部分ROI像素直方图及其Gamma拟合

4.3 拟合优度诊断分析

图像名	χ^2 P值 (P_{χ^2})	K-S P值 (P_{KS})	K-S D值 (D)
3.png	1.99×10^{-45}	6.31×10^{-4}	0.018
4.png	3.52×10^{-45}	1.38×10^{-4}	0.017
5.png	3.08×10^{-83}	1.37×10^{-2}	0.013
6.png	2.61×10^{-27}	6.26×10^{-6}	0.015
10.png	3.38×10^{-11}	1.95×10^{-9}	0.033

表4.2 Pearson检验P值、K-S检验P值和D值示例

经过检验，所有样本的 P_{χ^2} 和 P_{KS} 均远低于显著性水平（例如 $\alpha = 0.05$ ），这在统计上意味着我们必须拒绝数据服从 Gamma 分布这一原假设。

然而，本文认为这种一致性的拒绝是大样本悖论的典型体现。当样本量 N 极大时，即使观测分布与理论分布之间存在微小的、在工程上可忽略的偏差，也会被统计检验放大，导致 H_0 被拒绝。因此，仅依赖 P 值判断拟合优劣是不充分的。

事实上，为了进行更具工程实用性的诊断，本文参考了 K-S 统计量 D 和 Q-Q 图。由表 4.1 可见，观测 CDF 和理论 CDF 之间的最大绝对距离 D 值全部小于 0.1。这一量化结果表明，虽然存在差异，但观测分布与理论分布之间的最大累积偏差被严格控制在一个较低的工程可接受范围内。

此外，如图 4.3 所示，对于大多数均匀杂波样本，观测分位数点（蓝点）几乎完美地落在 45 度对角线（红线）上。只有部分图像由于轻微的非均匀性，在低分位数（主体）和高分位数（尾部）区域存在一定程度的误差。至关重要的是，即使存在这些微小误差，整体分布形状的一致性仍然得到了保持。这表明理论 Gamma 分布对观测数据的拟合程度比较好。

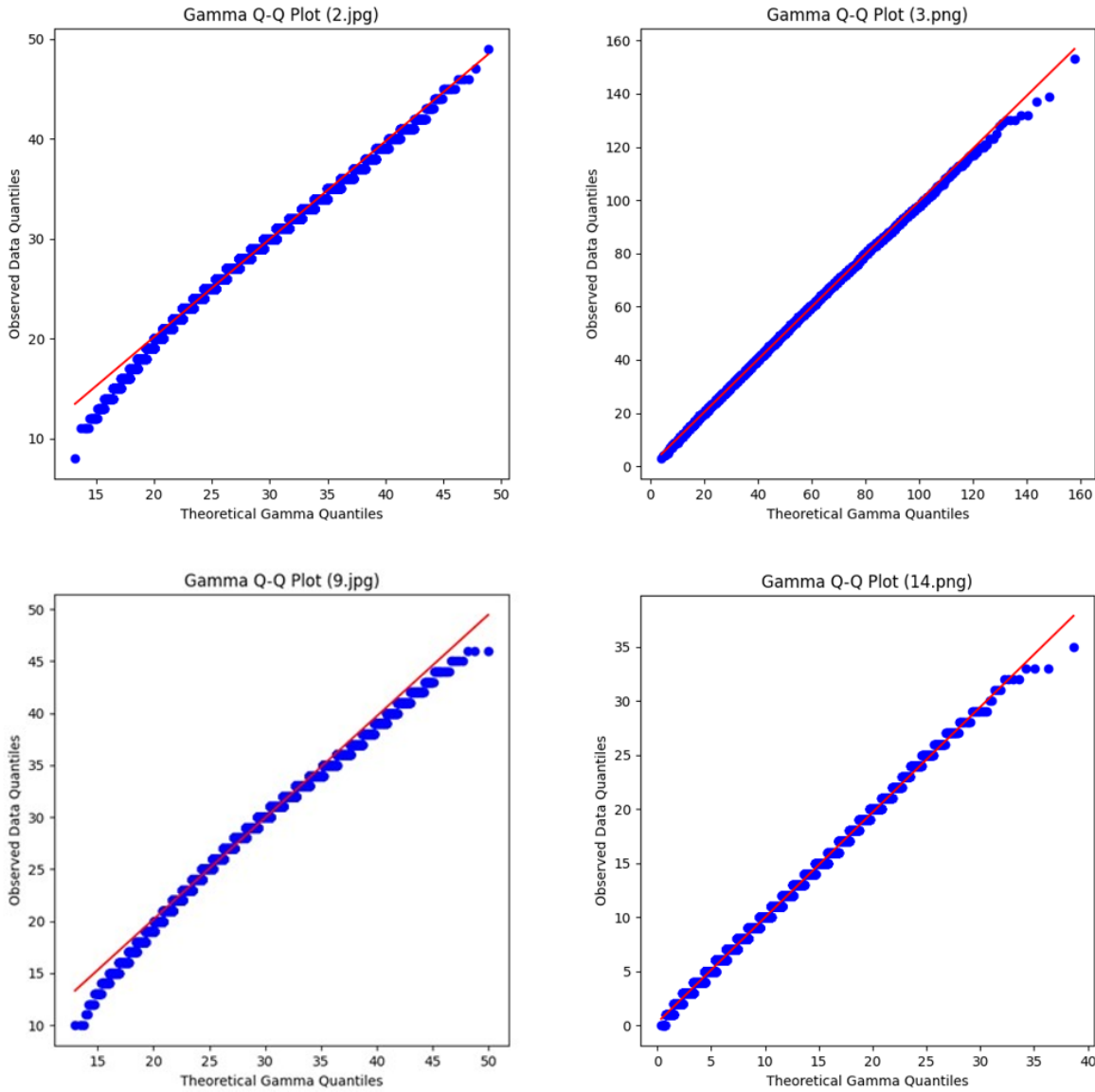


图4.3 部分ROI Q-Q图

4.4 统计量精度验证

在获取 15 组 MLE 参数之后，我们对每组参数均独立执行 $N = 10^7$ 次 Monte Carlo 模拟，以评估两类重要统计量的估计性能：虚警率 $P(I > t)$ 与检测阈值 $Q(p)$ 。对于虚警率估计，选取高强度阈值 $t=100$ ；对于分位数估计，则选取常见于 CFAR 检测的高分位值 $p=0.999$ 。

对于虚警率，所有 ROI 的 Monte Carlo 估计结果与理论解析值高度一致。误差集中在 $10^{-4} \sim 10^{-6}$ 范围内，而当 \hat{L} 较大时，Gamma 分布的尾部衰减更快，MC 估计误差会进一步降低，表明参数规模对 MC 稳定性存在一定影响。

对于分位数，由于高分位点对尾部样本更敏感，其估计误差相对更大，表现为 $10^{-1} \sim 10^{-4}$ 的范围。不过，即使在误差最高的 ROI 中，相对误差也保持在 0.1% 以下，依然属于统计上可接受的精度水平。

总体来看，MC 方法在大样本情况下成功验证了 Gamma 理论模型的正确性，不论是概率计算还是高分位估计，在实际 SAR 图像参数范围内均表现出令人满意的精度和稳定性。

图像名	P绝对误差	Q绝对误差
1.jpg	0.0000121	0.0258699
3.png	0.0000062	0.0002057
4.png	0.0000515	0.3017734
5.png	0.0000403	0.2125705
6.png	0.0000546	0.2221035

表4.3 不同ROI的虚警率与检测阈值估计误差示例

5. Monte Carlo 收敛性分析

5.1 理论收敛性

根据大数定律，当样本量 $N \rightarrow \infty$ 时，MC 估计 \hat{P}_{MC} 将依概率 1 趋近于真值 P_{Theory} ，保证了估计的一致性。同时，根据中心极限定理， \hat{P}_{MC} 近似服从正态分布，其估计精度可通过方差来衡量。对于无偏估计量，其 MSE 由方差决定：

$$\text{MSE}[\hat{P}_{\text{MC}}] \approx V[\hat{P}_{\text{MC}}] = \frac{P_{\text{Theory}}(1 - P_{\text{Theory}})}{N}$$

这一关系清晰地表明，估计误差的方差与样本量 N 成反比。因此，MC 估计的 MSE 理论上应满足渐近收敛速率 $\text{MSE} \propto \mathcal{O}(1/N)$ 。相应地，标准误差 (SE) 的收敛速率为 $\mathcal{O}(1/\sqrt{N})$ ，这意味着要将精度提高一倍，需要将样本量增加四倍。

5.2 MSE 实验结果

本文选取图像 5.png 的参数 ($L=5.49$, $\lambda=0.1067$) 作为代表性样本。该参数组来源于一个典型的多视 SAR 均匀区域，具有适中的视数 L ，其统计特性具有较强的代表性。为了获得稳健的统计结果，设计了以下实验：样本量 N 取值范围为 10^3 到 10^7 ，按对数间隔递增。对于每一个 N 值，实验重复进行 $K = 100$ 次，以计算经验 MSE，计算公式如下：

$$\text{MSE}_{\text{Exp}} = \frac{1}{K} \sum_{k=1}^K (\hat{P}_{\text{MC}}^{(k)} - P_{\text{Theory}})^2$$

其中 $\hat{P}_{\text{MC}}^{(k)}$ 是第 k 次实验得到的虚警率估计值。在双对数坐标系 (Log-Log 坐标) 下绘制的 MSE_{Exp} 随 N 变化的曲线显示，实际 MC 估计的 MSE 曲线与理论 $\mathcal{O}(1/N)$ 参考线几乎完美重合，斜率约为 -1。这一高度吻合的斜率直接在对数空间内证明了理论收敛速率的正确性。

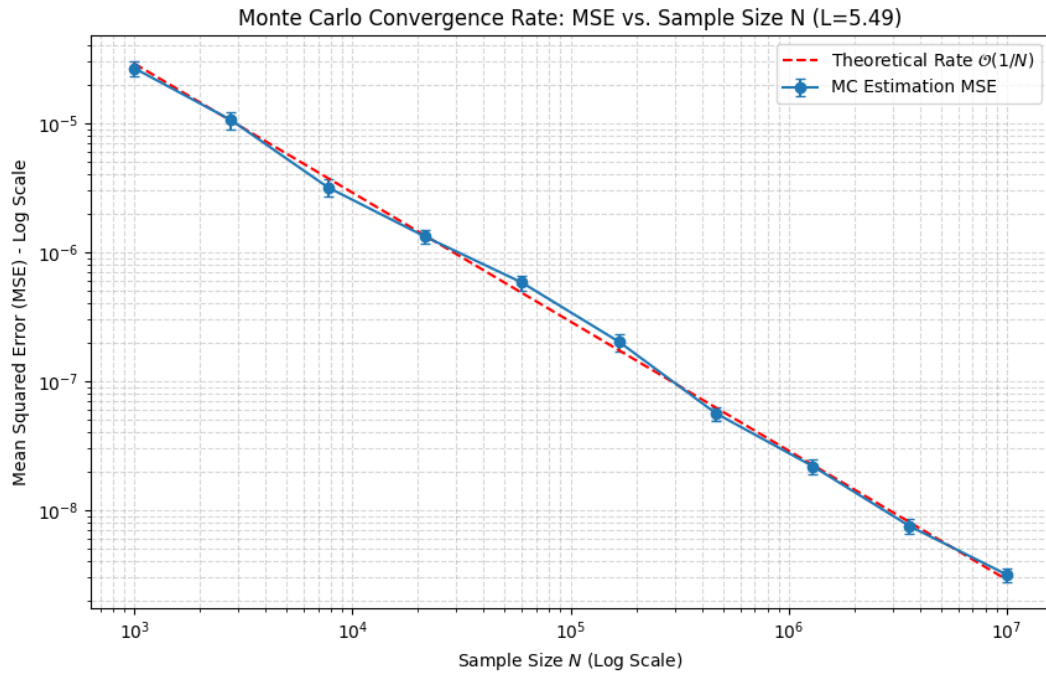


图 5-1 MC 虚警率估计的 MSE 与样本量 N 的收敛关系

5.3 实验结论

如图 5-1 所示，实际 MC 估计的 MSE 曲线（蓝色实线）与理论 $\mathcal{O}(1/N)$ 参考线（红色虚线）在对数坐标下几乎完美重合，斜率约为 -1。这证明了 MC 方法在应用于 SAR 斑点噪声的概率估计时，其误差收敛速度满足统计学的严格要求，即 $SE \propto 1/\sqrt{N}$ 。这一量化结果是 MC 方法在 SAR 应用中可靠性的关键保证。它提供了明确的指导方针：对于任意复杂的 SAR 检测统计量，即使没有解析解，仍然可以通过设置目标精度 ϵ （即 $SE \leq \epsilon$ ），推算出所需的最小样本量 $N_{\min} \propto 1/\epsilon^2$ ，从而系统地控制和减小估计误差，确保检测器性能评估的统计严谨性。

6. 结论

6.1 研究成果总结

本文通过 MLE 和大规模 MC 模拟，对 SAR 斑点噪声的 Gamma 分布模型进行了全面验证和分析。主要研究成果总结如下：

1. 通过 Pearson 检验、K-S 检验和 Q-Q 图证明了 Gamma 分布对实际 SAR 均匀区域的强度数据具有优异的拟合性，MLE 估计的参数具备较高的有效性。
2. MC 模拟能够以极高的精度估计 SAR 检测中的关键统计量（虚警率和阈值），其结果与理论解析值高度吻合，平均绝对误差在 10^{-5} 量级。
3. 通过严格的收敛性分析，量化证明了 MC 估计的 MSE 随样本量 N 呈 $\mathcal{O}(1/N)$ 衰减，为其在高精度 SAR 统计分析中的应用提供了坚实的统计学基础。

6.2 MC 方法与其他计算方法的比较

6.2.1 解析方法的优势与局限

- 优势：解析方法能够提供统计量的表达式，计算速度快，且结果具有数学上的严谨性。它是建立模型和进行理论推导的基础。
- 局限：
 1. 复杂统计量处理受限：对于涉及多个随机变量、非线性变换（如比值检测器 $R = I_1/I_2$, I_1, I_2 分布不同）或多维积分的复杂检测统计量，其精确解析分布往往难以获得，甚至不存在封闭解。
 2. 数值稳定性问题：在处理极小概率时，解析方法的数值计算依赖于计算机的浮点精度和特殊函数的实现，可能引入难以控制的近似误差。

6.2.2 MC 模拟的优势与局限

- 优势：
 1. 通用性：MC 模拟不受模型复杂性或解析解存在性的限制，是一种通用的数值求解工具。只要能生成随机变量，就能估计其统计特性。
 2. 独立验证：如图 4-2 所示，MC 方法可作为解析公式的高精度独立验证工具。通过大规模模拟得到与理论值高度一致的结果，极大地增强了理论模型和数值实现的可靠性。
 3. 误差可控：如第 5 节所示，MC 估计的误差收敛速度遵循 $\mathcal{O}(1/\sqrt{N})$ ，这意味着通过简单地增加样本量 N ，就能系统且量化地提高精度，误差水平完全由设计者控制。
- 局限：
 1. 收敛速度慢：相较于许多确定性数值积分方法，MC 方法的收敛慢，计算开销巨大。
 2. 高精度依赖性：在估计极小概率时，标准 MC 需要巨大的样本量才能确保足够多的成功事件，导致计算资源消耗过高。若不使用方差缩减技术，实际应用会受到限制。
 3. 随机性依赖：结果的可靠性高度依赖于随机数生成器的质量。劣质的伪随机数可能引入系统偏差，影响统计量的无偏性。

6.3 展望

MC 模拟方法凭借其通用性、鲁棒性以及在本文中验证的高精度和可靠收敛性，在 SAR 统计分析中具有广阔的潜力。未来的研究可以集中于对复杂统计量（如异质区域比值检测器 $(R = I_1/I_2, L_1 \neq L_2)$ 等缺乏解析公式的统计量的分布问题）的求解以及将重要性采样等方差缩减技术引入 SAR 统计量估计中，以在不增加样本量 N 的情况下，有效提高 MC 估计的精度和收敛效率。

参考文献

-
- [1] 孙海燕, 周梦, 李卫国, 冯伟. 数理统计[M]. 北京：北京航空航天大学应用数学与系统科学学院, 2015: P160-P171
 - [2] Metropolis N, Ulam S. The monte carlo method[J]. Journal of the American statist ical association, 1949, 44(247): 335-341.
 - [3] Lee J S .Speckle analysis and smoothing of synthetic aperture radar images[J].Computer Graphics and Image Processing, 1981, 17(1):24-32.DOI:10.1016/S0146-664X(81)80005-6.

- [4] Lee J S .Digital Image Enhancement and Noise Filtering by Use of Local Statistics[J].IEEE Transactions on Pattern Analysis & Machine Intelligence, 2009, PAMI-2(2):165-168.DOI:10.1109/TPAMI.1980.4766994.
- [5] A. Lopes, R. Touzi and E. Nezry, "Adaptive speckle filters and scene heterogeneity," in IEEE Transactions on Geoscience and Remote Sensing, vol. 28, no. 6, pp. 992-1000, Nov. 1990, doi: 10.1109/36.62623.
- [6] H. Parikh, S. Patel and V. Patel, "Analysis of Denoising Techniques for Speckle Noise Removal in Synthetic Aperture Radar Images," 2018 International Conference on Advances in Computing, Communications and Informatics (ICACCI), Bangalore, India, 2018, pp. 671-677, doi: 10.1109/ICACCI.2018.8554917.
- [7] James F. Monte Carlo theory and practice[J]. Reports on progress in Physics, 1980, 43(9): 1145.